

Identificación molecular de bacterias asociadas a la filosfera de plantas de arroz (*Oryza sativa L.*), mediante técnicas de cultivo microbiano.

Molecular identification of bacteria associated with the phyllosphere of rice plants (*Oryza sativa L.*), through microbial culture techniques.

Carlos Deza N.¹, Dicson. Sánchez A², Jean Silva A³, Ramón García¹, Eric Mialhe².

Resumen

Las plantas albergan una gran diversidad de microorganismos, como hongos, bacterias, etc., que interactúan con ella y tienen una funcionalidad que va desde la patogenicidad, hasta la protección de la misma. Se ha estudiado parte de esta diversidad microbiana a nivel de la filosfera en plantas de *Oryza sativa* (L) “arroz”; mediante microbiología molecular se ha caracterizado siete especies bacterianas entre las cuales sobresalieron especies Uncultured, es decir no cultivadas, además de *Bacillus amyloliquefaciens*, *Enterobacter asburiae*, *Klebsiella pneumoniae* y *Pantoea sp.*, todas ellas con un alto porcentaje de identidad; asimismo, mediante metagenómica dirigida se caracterizó trescientos ochenta y cinco especies bacterianas, de las que sobresalen pertenecen a los géneros *Bacillus*, *Rhizobium*, *Pseudomonas*, *Mycobacterium*, *Nocardioides*, *Clostridium*, *Methylobacterium* y *Pantoea*. Las familias que más destacan son *Enterobacteriaceae*, *Rhizobiaceae*, *Microbacteriaceae*, *Bacillaceae*, *Flavobacteriaceae*, *Pseudomonadaceae*, *Nocardiaceae*, *Mycobacteriaceae*, *Clostridiaceae* y *Methylobacteriaceae*; no se encontró *Burkholderia glumae*,

Palabras claves: Filosfera, *Oryza sativa*, metagenómica, microbiología molecular

Abstract

Plants are home to a great diversity of microorganisms; such as fungi, bacteria, etc., that interact with it and have a functionality ranging from the pathogenicity, to the protection of the same. Has been part of this microbial diversity at the level of phyllosphere in *Oryza sativa* (L) “rice plant”; using molecular microbiology has characterized seven bacterial species among which stood out, Uncultured species that is to say not cultivated, in addition of *Bacillus amyloliquefaciens*, *Enterobacter asburiae*, *Klebsiella pneumoniae* and *Pantoea sp.*, all them with a high percentage of identity; three hundred eighty five bacterial species was characterized through directed metagenomics, the species belonging to the genera *Bacillus*, *Rhizobium*, *Pseudomonas*, *Mycobacterium*, *Nocardioides*, *Clostridium*, *Methylobacterium* and *Pantoea* more they stand out. The families that stand out most are *Enterobacteriaceae*, *Rhizobiaceae*, *Microbacteriaceae*, *Bacillaceae*, *Flavobacteriaceae*, *Pseudomonadaceae*, *Nocardiaceae*, *Mycobacteriaceae*, *Clostridiaceae* and *Methylobacteriaceae*; we did not find *Burkholderia glumae*.

Key words: Phyllosphere, *Oryza sativa*, metagenomics, molecular microbiology

1. Departamento Acad. Producción Agrícola, Universidad Nacional de Tumbes cadn_2006@hotmail.com
2. Inca'Biotec SAC. dickson_sa@hotmail.com
3. Escuela de Postgrado, Maestría Biotecnología Molecular, Universidad Nacional de Tumbes jcsa_jean@hotmail.com

Introducción

El arroz (*Oryza sativa* L), es el segundo cereal más producido en el mundo, ocupa el cuarto lugar en Perú y en Tumbes es el principal cultivo con mayor capacidad de generar empleo. Actualmente, enfrenta serios problemas de carácter fitosanitario, dentro de los que destaca el “añublo bacterial de la panícula” causada por la bacteria patógena *Burkholderia glumae*, que provoca grandes pérdidas y preocupa al sector agrícola. Una de las estrategias que se debe utilizar, para solucionar esta problemática, es la del control biológico; en ese propósito

destaca el uso de algunas técnicas dependientes e independientes de cultivo microbiano. En tal sentido y con el objetivo de identificar las bacterias cultivadas y no cultivadas asociadas a la filosfera de plantas de arroz, se realizó esta investigación utilizando herramientas moleculares como la reacción en cadena de la polimerasa (PCR), mediante la amplificación del gen 16S ARN ribosomal y la secuenciación del metagenoma obtenido en la filosfera de las plantas de arroz.

Material y métodos

Población, muestra y muestreo

La población estuvo compuesta por las bacterias presentes en la filosfera de las plantas de arroz de la parcela seleccionada, ubicada en el sector “La Variante”, distrito de San Pedro de los Incas - Tumbes; la muestra estuvo constituida por las bacterias que habitaban en la filosfera de las plantas de arroz (*Oryza sativa*), variedad Tinajones; para el muestreo se hizo una prospección en zigzag, se seleccionaron plantas de arroz de las que se obtuvieron las muestras.

Microbiología molecular:

Aislamiento de bacterias

Las muestras de filósfera, se depositaron en tubos falcon de 50 ml conteniendo *buffer tween* al 0,1%, y se colocaron en un *shaker*, para su inmediata agitación, a 130 rpm por 24 horas. Los sobrenadantes obtenidos fueron utilizados como soluciones madre para realizar diluciones decimales, las que fueron depositadas en tubos eppendorf. Se pliquearon los medios de cultivo en placas petri, donde se adicionaron 75 µl de cada dilución que se extendió por toda la placa. Las placas fueron dejadas a temperatura ambiente por 24 horas, para el desarrollo de microorganismos. Luego se realizaron tres purificaciones de las colonias bacterianas en nuevos medios de cultivo.

Extracción de ADN

Las colonias bacterianas puras obtenidas de los diferentes medios de cultivo se pusieron a crecer, por 48 horas, en tubos de 1,5

ml conteniendo LB caldo; para luego ser centrifugadas a 10 000 rpm por dos minutos. El sobrenadante fue descartado; al sedimento se le hizo la extracción de ADN bacteriano mediante el método del shock térmico, según se indica: el sedimento se resuspendió en 500 µl de solución A (PBS 1X), se vortexeo por 1 minuto, se microcentrifugo a 10 000 rpm por dos minutos, se eliminó el sobrenadante y se resuspendió el sedimento en 200 µl de solución B (TE 1X). Se llevó a ebullición por 10 minutos e inmediatamente se colocó sobre hielo por cinco minutos. Se microcentrifugo el sobrenadante a 10 000 rpm por un minuto y se transfirió a un nuevo tubo de 1,5 ml. Se hizo diluciones decimales del sobrenadante, para la PCR. Se agregó un µl de ARNasa a todas las diluciones y se incubó a 65 °C por 15 minutos, obteniendo así las muestras de ADN de cada colonia pura bacteriana. Se almacenaron las muestras de ADN a 20 °C, quedando listas para ser utilizadas en la: PCR, electroforesis y secuenciación.

Reacción en cadena de la polimerasa

Para comprobar la presencia de ADN bacteriano cultivable, en las muestras de filósfera, se realizó una PCR dirigida a la amplificación del gen 16S ARN ribosomal con los primers universales (Tabla 1); y para identificar la presencia o ausencia de la bacteria *B. glumae*, se realizó la PCR dirigida a la amplificación del gen *gyrB* de la sub-

unidad D de la girasa con primers específicos (Tabla 2).

Tabla 1. Secuencia nucleotídica de los primers 27-f y 492-r para amplificar el gen 16S ADN ribosomal, en la filosfera de *O. sativa*.

| Primers | Sentido | Secuencia nucleotídica |
|---------|---------|---------------------------------|
| 27-f | Forward | 5' - AGAGTTTGATCMTGGCTC - 3' |
| 1492-r | Reverse | 5' - TACGGYTACCTTGTACGACTT - 3' |

M: Adenina o Citosina

Y: Timina o Citosina.

Para la amplificación del gen 16S ADN ribosomal y del gen gyrB de la subunidad D de la girasa se utilizó un mix de reacción (Tabla 3).

Se desarrollaron protocolos de replicación artificial para la amplificación del gen 16S ADN ribosomal y del gen gyrB de la subunidad D de la girasa (Tablas 4 y 5), los mismos que sirvieron para la obtención final de los amplicones.

Volumen de reacción de 23 µl para muestras, incluyendo un control (+) de extracción más un control (-) de PCR y un control (-) de extracción

(*) Se adiciona en el momento de desarrollar el protocolo de replicación artificial para la amplificación.

Tabla 4. Protocolo de replicación artificial para la amplificación del gen 16S ADN ribosomal, en la filosfera de *Oryza sativa*.

| Fase | Tiempo (min.) | Ciclos | Temperatura (°C) |
|---------------------------|---------------|--------|------------------|
| Desnaturalización del ADN | 1 | 35 | 94 |
| Hibridación | 1 | 35 | 58 |
| Polimerización | 1 | 35 | 72 |

Electroforesis.

Los amplicones de las bacterias cultivables asociadas a la filosfera, obtenidos en la PCR, fueron observados en gel de migración, preparado mezclando 1,8 g de agarosa con 120 ml de TAE, la solución se calentó hasta que la agarosa se disolvió, se agregaron 6 µl de bromuro de etidio, se dejó enfriar y se depositó la solución en la cubeta de electroforesis. Se mezcló 2 µl de azul de bromofenol con 8 µl de los amplicones, la mezcla se puso en los pocillos, luego se ubicó el gel sobre el transluminador y se observó la migración de moléculas de ADN. Para obte-

Tabla 2. Secuencia nucleotídica de los primers Glu-Fw y Glu-Rw dirigidos al gen gyrB de la subunidad D de la girasa, en filosfera de *O. sativa*.

| Primers | Sentido | Secuencia nucleotídica |
|---------|---------|-----------------------------------|
| Glu-Fw | Forward | 5'-GAA GTG TCG CCG ATG GAG- 3' |
| Glu-Rw | Reverse | 5'-CCT TCA CCG ACA GCA CGC AT- 3' |

Tabla 3. Composición del mix de reacción para la amplificación del gen 16S ADN ribosomal y del gen gyrB de la subunidad D de la girasa, en la filosfera de *O. sativa*.

| Insumo | Volumen (µl) |
|--------------------|------------------|
| AUP | 16,2 |
| Buffer | 2,5 |
| Cl ₂ Mg | 2,5 |
| DNTPs | 0,5 |
| Iniciador Fower | 0,6 |
| Iniciador Rever | 0,6 |
| Taq polimerasa | 0,1 |
| ADN (*) | 2 µl por muestra |
| Total | 25 |

Tabla 5. Protocolo de replicación artificial para la amplificación del gen gyrB de la subunidad D de la girasa, en la filosfera de *O. sativa*

| Fase | Tiempo (s) | Ciclos | Temperatura (°C) |
|---------------------------|------------|--------|------------------|
| Desnaturalización del ADN | 45 | 40 | 94 |
| Hibridación | 45 | 40 | 55 |
| Polimerización | 45 | 40 | 72 |

ner el tamaño del amplicon se usó un marcador de peso molecular.

Secuenciación.

Los amplicones obtenidos en la PCR, de las bacterias cultivables asociadas a la filosfera, se enviaron a secuenciar. Las bandas fuertes y medianamente fuertes fueron previamente diluidas en agua ultra pura.

Caracterización molecular por metagenómica dirigida:

Extracción de ADN total.

Las muestras de filósfera se colocaron en tubos Falcon de 50 ml contenido *buffer tween* al 0,1%, los tubos fueron sellados con papel de aluminio y parafilm, luego se agitaron en un *shaker* a 130 rpm por 24 hs. Las muestras se centrifugaron a 14 000 g por 15 minutos, se eliminó el sobrenadante, el sedimento fue lavado con agua destilada, se eliminó el sobrenadante para luego resuspender el sedimento en 500 µl de agua destilada autoclavada y se depositó en tubos de 1,5 ml, quedando listas las muestras para la extracción de ADN; lo cual se hizo mediante el kit de aislamiento de ADN Power Soil (MO BIO. 2016).

Tabla 6. Composición del mix de reacción para la amplificación del gen 16S ADN ribosomal, en la filósfera de *O. sativa*.

| Insumo | Volumen (µl) | Muestras | Volumen (µl) |
|-----------------|------------------|----------|--------------|
| AUP | 16,2 | 7 | 113,4 |
| Buffer | 2,5 | 7 | 17,5 |
| Cl2Mg | 2,5 | 7 | 17,5 |
| dNTPs | 0,5 | 7 | 3,5 |
| Iniciador Fower | 0,6 | 7 | 4,2 |
| Iniciador Rever | 0,6 | 7 | 4,2 |
| Taq polimerasa | 0,1 | 7 | 0,7 |
| ADN (*) | 1 µl por muestra | | |
| Total | 24 | | 161 |

Volumen de reacción de 24 µl para siete muestras, incluyendo un control (+) de extracción, más un control (-) de PCR y un control (-) de extracción.

(*) Se adiciona en el momento de desarrollar el protocolo de replicación artificial para la amplificación.

Los protocolos de replicación artificial para la amplificación del gen 16S ADN ribosomal y del gen *gyrB* de la subunidad D de la gira sa, son los mismos que se desarrollan para microbiología molecular y se detallan en las Tablas 4 y 5. Los amplicones obtenidos se usaron en la electroforesis y la secuenciación.

Electroforesis.

Los amplicones de las bacterias cultivables y no cultivables asociadas a la filósfera, obtenidos en la PCR, fueron observados en gel de migración, siguiendo el mismo protocolo que se utilizó en microbiología molecular.

Reacción en cadena de la polimerasa (PCR).

Para comprobar la presencia de ADN bacteriano total, así como para identificar la presencia o ausencia de la bacteria patógena *B. glumae* en las muestras de filósfera, se realizaron PCRs, de manera similar a lo realizado en microbiología molecular (Tablas 1 y 2). Para la amplificación del gen 16S ADN ribosomal y del gen *gyrB* de la subunidad D de la girasa, se utilizó un mix de reacción, parecido al que se manejó en microbiología molecular (Tablas 6 y 7).

Tabla 7. Composición del Mix de reacción para la amplificación del gen *gyrB* de la subunidad D de la girasa, en la filósfera de *O. sativa*.

| Insumo | Volumen (µl) | Muestras | Volumen (µl) |
|-----------------|------------------|----------|--------------|
| AUP | 16,2 | 5 | 81 |
| Buffer | 2,5 | 5 | 12,5 |
| Cl2Mg | 2,5 | 5 | 12,5 |
| dNTPs | 0,5 | 5 | 2,5 |
| Iniciador Fower | 0,6 | 5 | 3 |
| Iniciador Rever | 0,6 | 5 | 3 |
| Taq polimerasa | 0,1 | 5 | 0,5 |
| ADN (*) | 1 µl por muestra | | |
| Total | 24 | | 115 |

Volumen de reacción de 24 µl para cinco muestras, incluyendo un control (+) de extracción, más un control (-) de PCR y un control (-) de extracción.

(*) Se adiciona en el momento de desarrollar el protocolo de replicación artificial para la amplificación.

Secuenciación.

Los amplicones, con el ADN de las bacterias cultivables y no cultivables, asociadas a la filosfera, obtenidos en la PCR, se enviaron a secuenciar. Las bandas fuertes y medianamente fuertes fueron previamente diluidas en agua ultra pura.

Procesamiento y análisis de datos.

El análisis de las secuencias obtenidas, por microbiología molecular, de las bacterias cultivables, se realizó mediante el uso de una herramienta de acceso libre en la Internet llamada Basic Local Alignment Search Tool (BLAST) que se enlaza con el Centro

Nacional para la Información Biotecnológica (NCBI 2016), que tiene a disposición las secuencias génicas de los organismos existentes.

Para el análisis de la metagenómica se utilizó el Software MG-RAST (Metagenomic Rapid Annotations using Subsystems Tech-

nology) un servidor de aplicaciones web de código abierto que realiza el análisis filogenético y funcional de metagenómas (MG RAST. 2007.). Se utilizó la fuente de anotación Greengenes, con un e-Value Cutoff de - 30, un 95% de identidad mínima y una longitud de alineamiento de 20 nucleótidos.

Resultados

Mediante microbiología molecular se identificaron siete bacterias cultivables asociadas a la filosfera del arroz, resaltando *Pantoea*

sp.; pero dos especies fueron no cultivadas, todas ellas con un alto porcentaje de identidad (Tabla 8).

Tabla 8. Bacterias cultivables asociadas a la filosfera de *O. sativa*, caracterizadas mediante el gen 16S ARN ribosomal.

| Nº | Bacterias Cultivables | Referencia(*) | Identidad % | Código de Accesión |
|----|--|---|-------------|--------------------|
| 1 | <i>Pantoea</i> sp. LS-123 | Soil and genetic effect on cultivable rice endophytes | 100 | KR067595.1 |
| 2 | <i>Enterobacter asburiae</i> strain 35734 | Direct Submission | 99 | CP012162.1 |
| 3 | <i>Klebsiella pneumoniae</i> | Direct Submission | 99 | AP014950.1 |
| 4 | <i>Bacillus amyloliquefaciens</i> strain ICB 200 | <i>Bacillus amyloliquefaciens</i> as plant inoculant | 98 | KP681701.2 |
| 5 | <i>Uncultured bacterium</i> clone 1.2 | 16S rRNA gene sequences from bacteria associated with adult <i>Anopheles darlingi</i> (Diptera: Culicidae) mosquitoes | 99 | EF179807.1 |
| 6 | <i>Uncultured bacterium</i> clone SHCB1150 | Field-rice roots host diverse endophyte communities, which are dominated by nitrogen-fixing Enterobacter strains | 99 | N698215.1 |
| 7 | <i>Uncultured bacterium</i> clone SHCB0588 | Field-rice roots host diverse endophyte communities, which are dominated by nitrogen-fixing Enterobacter strains | 99 | JN697822.1 |

* NCBI. 2016b.

La distribución del dominio bacteriano asociado a la filosfera, obtenido mediante metagenómica dirigida, fue de 385 especies, agrupadas en 125 familias, 59 órdenes y 13 filum (Figura 1). En el género *Burkholderia*, no se encontró *B. glumae*, pero si pequeñas fracciones de *B. pseudomallei*, *B. fungorum*, *Burkholderia* sp. JPY479 y la no cultivadas *Burkholderia* sp.

Las especies que más sobresalen pertenecen a los géneros *Bacillus*, *Rhizobium*, *Pseudomonas*, *Mycobacterium*, *Nocardioides*, *Clostridium*, *Methylobacterium* y *Pantoea*. Las familias que más destacan son *Enterobacteriaceae*, *Rhizobiaceae*, *Microbacteriaceae*, *Bacillaceae*, *Flavobacteriaceae*, *Pseudomonadaceae*, *Nocardiaceae*, *Mycobacte-*

riaceae, *Clostridiaceae* y *Methylobacteriaceae* (Tabla 9).

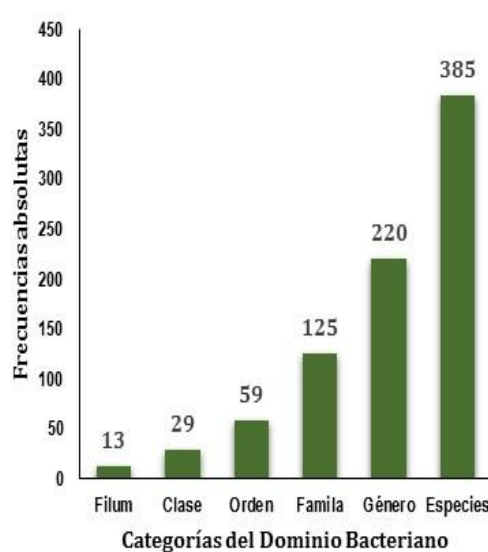


Figura 1. Distribución del dominio bacteriano asociado a la filósfera de *Oryza sativa*.

Tabla 9. Distribución del dominio bacteriano, hasta especie en la filósfera de *O. sativa*.

Phyla

| | | | |
|-----------------------|-----------------|--------------------|--|
| 1 Acidobacterias | 2 Bacteroidetes | 3 Chloroflexi | 4 Cyanobacteria |
| 5 Deinococcus-Thermus | 6 Firmicutes | 7 Nitrospirae | 8 Planctomycetes |
| 9 Proteobacteria | 10 Tenericutes | 11 Verrucomicrobia | 12 y 13 Unclassified (derived from Bacteria) |

Clases

| | | | |
|---|--------------------------|--|--|
| 1 Acidobacteriia | 2 Solibacteres | 3 Actinobacteria (class) | 4 Bacteroidia |
| 5 Cytophagia | 6 Flavobacteriia | 7 Sphingobacteriia | 8 Chloroflexi (class) |
| 9 Deinococci | 10 Bacilli | 11 Clostridia | 12 Negativicutes |
| 13 Nitrospira (class) | 14 Planctomycetia | 15 Alphaproteobacteria | 16 Betaproteobacteria |
| 17 Deltaproteobacteria | 18 Epsilonproteobacteria | 19 Gammaproteobacteria | 20 Mollicutes |
| 21 Opitutae | 22 Spartobacteria | 23 Verrucomicrobiae | 24 Unclassified (derived from Acidobacteria) |
| 25 Unclassified (derived from Bacteroidetes) | | 26 Unclassified (derived from Cyanobacteria) | |
| 27 Unclassified (derived from Proteobacteria) | | 28 Unclassified (derived from Verrucomicrobia) | |
| 29 Unclassified (derived from bacteria) | | | |

Familias

| | | | |
|--|---|---|-------------------------|
| 1 Acidobacteriaceae | 2 Solibacteraceae | 3 Acidimicrobiaceae | 4 Bogoriellaceae |
| 5 Brevibacteriaceae | 6 Cellulomonadaceae | 7 Corynebacteriaceae | 8 Dermacoccaceae |
| 9 Dermatophilaceae | 10 Frankiaceae | 11 Geodermatophilaceae | 12 Intrasporangiaceae |
| 13 Kineosporiaceae | 14 Microbacteriaceae | 15 Micrococcaceae | 16 Micromonosporaceae |
| 17 Mycobacteriaceae | 18 Nocardiaceae | 19 Nocardioidaceae | 20 Nocardiopsaceae |
| 21 Promicromonosporaceae | 22 Pseudonocardiaceae | 23 Streptomyctaceae | 24 Streptosporangiaceae |
| 25 Thermomonosporaceae | 26 Bifidobacteriaceae | 27 Rubrobacteraceae | 28 Bacteroidaceae |
| 29 Porphyromonadaceae | 30 Rikenellaceae | 31 Cytophagaceae | 32 Flavobacteriaceae |
| 33 Sphingobacteriaceae | 34 Rhodothermaceae | 35 Chloroflexaceae | 36 Oscillochloridaceae |
| 37 Nostocaceae | 38 Rivulariaceae | 39 Scytonemataceae | 49 Deinococcaceae |
| 41 Bacillaceae | 42 Paenibacillaceae | 43 Planococcaceae | 44 Staphylococcaceae |
| 45 Thermoactinomycetaceae | 46 Carnobacteriaceae | 47 Enterococcaceae | 48 Lactobacillaceae |
| 51 Clostridiales Family XI. Incertae Sedis | 52 Clostridiales Family XII. Incertae Sedis | 53 Clostridiales Family XVII. 59 Thermoanaerobacteriales Family III. Incertae Sedis | |
| 49 Streptococcaceae | 50 Clostridiaceae | 54 Eubacteriaceae | 55 Lachnospiraceae |
| 57 Peptostreptococcaceae | 58 Ruminococcaceae | 56 Peptococcaceae | 60 Veillonellaceae |
| 61 Nitrospiraceae | 62 Planctomycetaceae | 63 Caulobacteraceae | 64 Bartonellaceae |
| 65 Beijerinckiaceae | 66 Bradyrhizobiaceae | 67 Brucellaceae | 68 Methylobacteriaceae |
| 69 Phyllobacteriaceae | 70 Rhizobiaceae | 71 Rhodobiaceae | 72 Xanthobacteraceae |
| 73 Rhodobacteraceae | 74 Acetobacteraceae | 75 Rhodospirillaceae | 76 Anaplasmataceae |

| | | | |
|---|-----------------------|---|-----------------------|
| 77 Rickettsiaceae | 78 Erythrobacteraceae | 79 Sphingomonadaceae | 80 Aeromonadaceae |
| 81 Alcaligenaceae | 82 Burkholderiaceae | 83 Comamonadaceae | 84 Oxalobacteraceae |
| 85 Methylophilaceae | 86 Neisseriaceae | 87 Rhodocyclaceae | 88 Bdellovibrionaceae |
| 89 Desulfobacteraceae | 90 Desulfobulbaceae | 91 Cystobacteraceae | 92 Myxococcaceae |
| 93 Polyangiaceae | 94 Aeromonadaceae | 95 Ectothiorhodospiraceae | 96 Enterobacteriaceae |
| 97 Coxiellaceae | 98 Legionellaceae | 99 Halomonadaceae | 100 Moraxellaceae |
| 101 Pseudomonadaceae | 102 Xanthomonadaceae | 103 Mycoplasmataceae | 104 Opitutaceae |
| 105 Verrucomicrobia subdivision 106 Verrucomicrobiaceae | | 107 Unclassified (derived from Acidobacteria) | |
| 108 Unclassified (derived from Sphingobacteriales) | | 109 Unclassified (derived from Bacteroidetes) | |
| 110 Unclassified (derived from Chroococcales) | | 111 Unclassified (derived from Oscillatoriales) | |
| 112 Unclassified (derived from Cyanobacteria) | | 113 Unclassified (derived from Bacillales) | |
| 114 Unclassified (derived from Rhizobiales) | | 115 Unclassified (derived from Rhodobacterales) | |
| 116 Unclassified (derived from Alphaproteobacteria) | | 117 Unclassified (derived from Burkholderiales) | |
| 118 Unclassified (derived from Betaproteobacteria) | | 119 Unclassified (derived from Deltaproteobacteria) | |
| 120 Unclassified (derived from Epsilonproteobacteria) | | 121 Unclassified (derived from Gammaproteobacteria) | |
| 122 Unclassified (derived from Proteobacteria) | | 123 Unclassified (derived from Spartobacteria) | |
| 124 Unclassified (derived from Verrucomicrobia) | | 125 Unclassified (derived from Bacteria) | |

Género y Especies

| | | |
|---|--|------------------------------------|
| 1 Acidobacterium capsulatum | 2 Candidatus Solibacter usitatus | 3 Candidatus Koribacter versatilis |
| 4 Acidimicrobium ferrooxidans | 5 Bogoriella caseolytica | 6 Brevibacterium casei |
| 7 Cellulomonas bogoriensis | 8 Cellulomonas fimi | 9 Cellulomonas sp. GM13 |
| 10 Corynebacterium cyclohexanicum | 11 Corynebacterium durum | 12 Kytococcus sedentarius |
| 13 Dermatophilus congolensis | 14 Frankia sp. | 15 Geodermatophilus obscurus |
| 16 Janibacter sp. BY48 | 17 Terrabacter sp. YK1 | 18 Terrabacter sp. YK3 |
| 19 Terrabacter tumescens | 20 Tetrasphaera japonica | 21 Tetrasphaera jenkinsii |
| 22 Kineococcus aurantiacus | 23 Agrococcus jenensis | 24 Agromyces cerinus |
| 25 Cryobacterium psychrophilum | 26 Curtobacterium albidum | 27 Curtobacterium flaccumfaciens |
| 28 Curtobacterium oceanosedimentum | 29 Glaciibacter superstes | 30 Leifsonia aquatica |
| 31 Leifsonia poae | 32 Leifsonia xyli | 33 Microbacterium aurum |
| 34 Microbacterium oxydans | 35 Pseudoclavibacter helvolus | 36 Subtercola frigoramans |
| 37 Arthrobacter citreus | 38 Arthrobacter crystallopoietes | 39 Arthrobacter oxydans |
| 40 Arthrobacter sp. | 41 Kocuria rosea | 42 Rothia dentocariosa |
| 43 Rothia mucilaginosa | 44 Actinoplanes liguriensis | 45 Actinoplanes philippinensis |
| 46 Micromonospora chokoriensis | 47 Micromonospora echinospora | 48 Micromonospora pattleoongensis |
| 49 Micromonospora peucetia | 50 Mycobacterium farcinogenes | 51 Mycobacterium gilvum |
| 52 Mycobacterium haemophilum | 53 Mycobacterium intracellulare | 54 Mycobacterium petroleophilum |
| 55 Mycobacterium sp. CH-2 | 56 Mycobacterium sp. JS621 | 57 Mycobacterium sp. SPyrGe1 |
| 58 Nocardia vaccinii | 59 Rhodococcus erythropolis | 60 Rhodococcus rhodnii |
| 61 Aeromicobium marinum | 62 Nocardioides albus | 63 Nocardioides sp. |
| 64 Nocardioides sp. AN3 | 65 Nocardioides sp. CF8 | 66 Nocardioides sp. DN36 |
| 67 Nocardioides sp. JS614 | 68 Nocardioides sp. MTD22 | 69 Pimelobacter simplex |
| 70 Nocardiopsis compostae | 71 Cellulosimicrobium sp. HY-13 | 72 Amycolatopsis methanolica |
| 73 Lentzia violacea | 74 Pseudonocardia saturnea | 75 Streptomyces acrimycini |
| 76 Streptomyces aureus | 77 Streptomyces clavuligerus | 78 Streptomyces violaceolatus |
| 79 Microbispora rosea | 80 actinomycete 7501 | 81 Bifidobacterium pseudolongum |
| 82 Rubrobacter xylanophilus | 83 Bacteroides intestinalis | 84 Parabacteroides distasonis |
| 85 Parabacteroides goldsteinii | 86 Parabacteroides gordonii | 87 Porphyromonas macacae |
| 88 Alistipes finegoldii | 89 Cytophaga sp. | 90 Flexibacter elegans |
| 91 Flexibacter flexilis | 92 Hymenobacter aerophilus | 93 Hymenobacter antarcticus |
| 94 Hymenobacter fastidiosus | 95 Hymenobacter ocellatus | 96 Hymenobacter sp. VUG-A141a |
| 97 Capnocytophaga gingivalis | 98 Chryseobacterium formosense | 99 Chryseobacterium gleum |
| 100 Chryseobacterium soldanellicola | 101 Flavobacterium johnsoniae | 102 Flavobacterium psychrophilum |
| 103 Flavobacterium sp. | 104 Flavobacterium sp. SOC A4(12) | 105 Myroides odoratimimus |
| 106 Riemerella columbina | 107 Riemerella sp. IPDH 98/90 | 108 Tenacobaculum amyloyticum |
| 109 Pedobacter heparinus | 110 Pedobacter sp. 4236 | 111 Pedobacter sp. MJ11 |
| 112 Sphingobacterium multivorum | 113 Sphingobacteriaceae bacterium SOC A20(36) | 114 Terrimonas ferruginea |
| 115 Salinibacter ruber | 116 Candidatus Amoeobophilus asiaticus | 117 Prolixibacter bellariivorans |
| 118 marine CFB-group bacterium MBIC01599 | 119 Chloroflexus aurantiacus | 120 Oscillochloris trichoides |
| 121 Cyanothec sp. WH 8902 | 122 Cyanothec sp. WH 8904 | 123 Microcystis aeruginosa |
| 124 Synechococcus sp. PCC 7920 | 125 Synechococcus sp. UH7 | 126 Nostoc carneum |
| 127 Nostoc sp. PCC 7423 | 128 Calothrix sp. PCC 7101 | 129 Calothrix sp. PCC 7103 |
| 130 Scytonema sp. IAM M-262 | 131 Leptolyngbya foveolarum | 132 Lyngbya majuscula |

| | | |
|---|--|---|
| 133 <i>Lyngbya wollei</i> | 134 <i>Microcoleus chthonoplastes</i> | 135 <i>Oscillatoria</i> sp. PCC 7112 |
| 136 <i>Planktothrix rubescens</i> | 137 <i>Pseudanabaena</i> sp. PCC 6903 | 138 <i>Spirulina laxissima</i> |
| 139 <i>Oscillatoriales cyanobacterium JSC-1</i> | 140 <i>Deinococcus deserti</i> | 141 <i>Deinococcus fucus</i> |
| 142 <i>Deinococcus geothermalis</i> | 143 <i>Deinococcus grandis</i> | 144 <i>Bacillus aquimaris</i> |
| 145 <i>Bacillus azotoformans</i> | 146 <i>Bacillus cereus</i> | 147 <i>Bacillus firmus</i> |
| 148 <i>Bacillus flexus</i> | 149 <i>Bacillus megaterium</i> | 150 <i>Bacillus methanolicus</i> |
| 151 <i>Bacillus simplex</i> | 152 <i>Bacillus</i> sp. | 153 <i>Bacillus</i> sp. BT97 |
| 154 <i>Bacillus</i> sp. JL-26 | 155 <i>Bacillus</i> sp. MB-11 | 156 <i>Bacillus</i> sp. m3-13 |
| 157 <i>Paenibacillus alginolyticus</i> | 158 <i>Kurthia sibirica</i> | 159 <i>Planomicrobium chinense</i> |
| 160 <i>Ureibacillus thermosphaericus</i> | 161 <i>Staphylococcus cohnii</i> | 162 <i>Laceyella putida</i> |
| 163 <i>Exiguobacterium acetylicum</i> | 164 <i>Exiguobacterium aurantiacum</i> | 165 <i>Exiguobacterium sibiricum</i> |
| 166 <i>Exiguobacterium</i> sp. CNU020 | 167 <i>Exiguobacterium undae</i> | 168 <i>Trichococcus pasteurii</i> |
| 169 <i>Enterococcus silesiacus</i> | 170 <i>Pediococcus acidilactici</i> | 171 <i>Lactococcus lactis</i> |
| 172 <i>Clostridium acetobutylicum</i> | 173 <i>Clostridium baratii</i> | 174 <i>Clostridium botulinum</i> |
| 175 <i>Clostridium sporiporicum</i> | 176 <i>Clostridium drakei</i> | 177 <i>Clostridium</i> sp. Kas107-1 |
| 178 <i>Clostridium taeniosporum</i> | 179 <i>Sarcina ventriculi</i> | 180 <i>Anaerococcus prevotii</i> |
| 181 <i>Sporanaerobacter acetigenes</i> | 182 <i>Fusibacter paucivorans</i> | 183 <i>Thermaerobacter marianensis</i> |
| 184 <i>Acetobacterium woodii</i> | 185 <i>Eubacterium rectale</i> | 186 <i>Butyrivibrio fibrisolvens</i> |
| 187 <i>Desulfosporosinus orientis</i> | 188 <i>Desulfotomaculum sapomandens</i> | 189 <i>Peptostreptococcus anaerobius</i> |
| 190 [Clostridium] lituseburensse | 191 <i>Ruminococcus flavefaciens</i> | 192 <i>Caldicellulosiruptor saccharolyticus</i> |
| 193 <i>Veillonella montpellierensis</i> | 194 <i>Candidatus Magnetobacterium bavaricum</i> | 195 <i>Isosphaera pallida</i> |
| 196 <i>Pirellula staleyi</i> | 197 <i>Planctomyces limnophilus</i> | 198 <i>Planctomyces maris</i> |
| 199 <i>Rhodopirellula baltica</i> | 200 <i>Asticcacaulis biprosthecum</i> | 201 <i>Brevundimonas bacteroides</i> |
| 202 <i>Brevundimonas bullata</i> | 203 <i>Brevundimonas intermedia</i> | 204 <i>Brevundimonas</i> sp. Gc-2-c |
| 205 <i>Caulobacter fusiformis</i> | 206 <i>Caulobacter vibrioides</i> | 207 <i>Phenyllobacterium lituiforme</i> |
| 208 <i>Methylocapsa acidiphila</i> | 209 <i>Blastobacter aggregatus</i> | 210 <i>Bosea</i> sp. CRIB-12 |
| 211 <i>Bosea</i> sp. CRIB-13 | 212 <i>Bosea vestrisii</i> | 213 <i>Bradyrhizobium elkanii</i> |
| 214 <i>Bradyrhizobium japonicum</i> | 215 <i>Rhodopseudomonas palustris</i> | 216 <i>Ochrobactrum</i> sp. CCBAU 61222 |
| 217 <i>Pseudochrobactrum</i> sp. KSS 7.8 | 218 <i>Methylobacterium aquaticum</i> | 219 <i>Methylobacterium hispanicum</i> |
| 220 <i>Methylobacterium komagatae</i> | 221 <i>Methylobacterium radiotolerans</i> | 222 <i>Methylobacterium rhodinum</i> |
| 223 <i>Methylobacterium</i> sp. CBMB38 | 224 <i>Methylopila capsulata</i> | 225 <i>Methylosinus trichosporium</i> |
| 226 <i>Mesorhizobium alhagi</i> | 227 <i>Mesorhizobium camelthorni</i> | 228 <i>Agrobacterium larrymoorei</i> |
| 229 <i>Agrobacterium tumefaciens</i> | 230 <i>Agrobacterium vitis</i> | 231 <i>Ensifer adhaerens</i> |
| 232 <i>Rhizobium etli</i> | 233 <i>Rhizobium gallicum</i> | 234 <i>Rhizobium huautlense</i> |
| 235 <i>Rhizobium leguminosarum</i> | 236 <i>Rhizobium oryzae</i> | 237 <i>Rhizobium</i> sp. J3-AN59 |
| 238 <i>Rhizobium</i> sp. NCHA22 | 239 <i>Rhizobium</i> sp. YAS34 | 240 <i>Rhizobium tropici</i> |
| 241 <i>Rhizobium yanglingense</i> | 242 <i>Sinorhizobium fredii</i> | 243 <i>Sinorhizobium meliloti</i> |
| 244 <i>Sinorhizobium xinjiangense</i> | 245 <i>Rhodobium orientis</i> | 246 <i>Ancylobacter dichloromethanicus</i> |
| 247 <i>Azorhizobium caulinodans</i> | 248 <i>Paracoccus</i> sp. R-24652 | 249 <i>Rhodobacter azotoformans</i> |
| 250 <i>Rhodobacter sphaeroides</i> | 251 <i>Acetobacter indonesiensis</i> | 252 <i>Azospirillum lipofерум</i> |
| 253 <i>Nisaea denitrificans</i> | 254 <i>Anaplasma centrale</i> | 255 <i>Erythromicrobium ramosum</i> |
| 256 <i>Novosphingobium aromaticivorans</i> | 257 <i>Novosphingobium capsulatum</i> | 258 <i>Sphingomonas agrestis</i> |
| 259 <i>Sphingomonas azotifigens</i> | 260 <i>Sphingomonas melonis</i> | 261 <i>Sphingomonas</i> sp. |
| 262 <i>Sphingomonas</i> sp. A01 | 263 <i>Sphingomonas</i> sp. Alpha4-2 | 264 <i>Sphingomonas</i> sp. BR12254 |
| 265 <i>Achromobacter xylosoxidans</i> | 266 <i>Burkholderia fungorum</i> | 267 <i>Burkholderia pseudomallei</i> |
| 268 <i>Burkholderia</i> sp. JPY479 | 269 <i>Pandorea pnomenusa</i> | 270 <i>Ralstonia solanacearum</i> |
| 271 <i>Acidovorax facilis</i> | 272 <i>Pelomonas puraquea</i> | 273 <i>Pseudacidovorax intermedius</i> |
| 274 <i>Herbaspirillum huttiense</i> | 275 <i>Herbaspirillum seropediae</i> | 276 <i>Massilia timonae</i> |
| 277 <i>Oxalobacter formigenes</i> | 278 <i>Roseateles depolymerans</i> | 279 <i>Roseateles terrae</i> |
| 280 <i>Methylophilus</i> sp. Ship | 281 <i>Chromobacterium violaceum</i> | 282 <i>Laribacter hongkongensis</i> |
| 283 <i>Azospira oryzae</i> | 284 <i>Bdellovibrio bacteriovorus</i> | 285 <i>Desulfonema magnum</i> |
| 286 <i>Angiococcus disciformis</i> | 287 <i>Melittangium lichenicola</i> | 288 <i>Myxococcus fulvus</i> |
| 289 <i>Chondromyces apiculatus</i> | 290 <i>Aeromonas caviae</i> | 291 <i>Aeromonas salmonicida</i> |
| 292 <i>Alkalispirillum</i> sp. ACO3 | 293 <i>Thioalkalivibrio halophilus</i> | 294 <i>Citrobacter amalonaticus</i> |
| 295 <i>Citrobacter farmeri</i> | 296 <i>Citrobacter youngae</i> | 297 <i>Cronobacter sakazakii</i> |
| 298 <i>Enterobacter cloacae</i> | 299 <i>Enterobacter pyrinus</i> | 300 <i>Erwinia amylovora</i> |
| 301 <i>Erwinia toletana</i> | 302 <i>Escherichia coli</i> | 303 <i>Escherichia fergusonii</i> |
| 304 <i>Klebsiella pneumoniae</i> | 305 <i>Klebsiella</i> sp. TT001 | 306 <i>Lonsdalea quercina</i> |
| 307 <i>Pantoea agglomerans</i> | 308 <i>Pantoea ananatis</i> | 309 <i>Pantoea oleae</i> |
| 310 <i>Pantoea</i> sp. A0301 | 311 <i>Pantoea</i> sp. A0305 | 312 <i>Pantoea</i> sp. P0359 |
| 313 <i>Pantoea stewartii</i> | 314 <i>Salmonella bongori</i> | 315 <i>Samsonia erythrinae</i> |
| 316 <i>Serratia ficaria</i> | 317 <i>Serratia marcescens</i> | 318 <i>Serratia proteamaculans</i> |
| 319 <i>Shigella flexneri</i> | 320 <i>Coxiella burnetii</i> | 321 <i>Legionella anisa</i> |
| 322 <i>Halomonas salina</i> | 323 <i>Acinetobacter baylyi</i> | 324 <i>Acinetobacter calcoaceticus</i> |
| 325 <i>Acinetobacter</i> sp. | 326 <i>Azotobacter beijerinckii</i> | 327 <i>Pseudomonas aeruginosa</i> |
| 328 <i>Pseudomonas cichorii</i> | 329 <i>Pseudomonas fluorescens</i> | 330 <i>Pseudomonas jessenii</i> |
| 331 <i>Pseudomonas monteilii</i> | 332 <i>Pseudomonas oryzihabitans</i> | 333 <i>Pseudomonas putida</i> |
| 334 <i>Pseudomonas</i> sp. R21-1 | 335 <i>Pseudomonas</i> sp. RW10S2 | 336 <i>Pseudomonas</i> sp. c306 |
| 337 <i>Pseudomonas viridiflava</i> | 338 <i>Dyella ginsengisoli</i> | 339 <i>Stenotrophomonas maltophilia</i> |

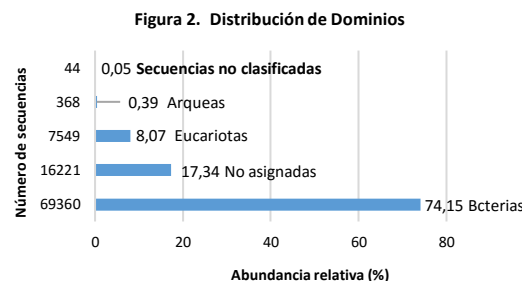
| | | |
|---|--|--|
| 340 Xanthomonas translucens | 341 Mycoplasma capricolum | 342 Diplosphaera colitermitum |
| 343 Opitutus sp. VeGlc2 | 344 Opitutus terraee | 345 Chthoniobacter flavus |
| 346 Pedosphaera párvula | 347 Prosthecobacter debontii | 348 Prosthecobacter dejongeii |
| 349 Prosthecobacter vanneervenii | 350 Verrucomicrobium spinosum | 351 Bacterium enrichment culture clone N47 |
| 352 Bacterium rJ10 | 353 Unidentified cyanobacterium CLg1 | 354 Uncultured cyanobacterium |
| 355 Uncultured Bartonella sp. | 356 Uncultured Bosea sp. | 357 Uncultured Ochrobactrum sp. |
| 358 Uncultured Methylobacterium sp. | 359 Uncultured Rhizobium sp. | 360 Uncultured Rhizobiales bacterium |
| 361 Uncultured Rhodobacteraceae bacterium | 362 Uncultured Rhodobacterales bacterium | 363 Uncultured Rickettsia sp. |
| 364 Uncultured alpha proteobacterium | 365 Uncultured Achromobacter sp. | 366 Uncultured Burkholderia sp. |
| 367 Uncultured Ralstonia sp. | 368 Uncultured Verminephrobacter sp. | 369 Uncultured Burkholderiales bacterium |
| 370 Uncultured beta proteobacterium | 371 Uncultured Desulfobulbus sp. | 372 Uncultured delta proteobacterium |
| 373 Uncultured epsilon proteobacterium | 374 Uncultured Enterobacter sp. | 375 Uncultured Serratia sp. |
| 376 Uncultured Enterobacteriaceae bacterium | 377 Uncultured gamma proteobacterium | 378 Uncultured proteobacterium |
| 379 Uncultured Verrucomicrobia bacterium | 380 Uncultured bacterium | 381 Uncultured forest soil bacterium |
| 382 Uncultured marine bacterium | 383 Uncultured rumen bacterium | 384 Uncultured soil bacterium |
| 385 Unidentified marine eubacterium | | |

En la distribución de dominios asociados a la filosfera del arroz se encontró, como producto de la secuenciación de los amplícones obtenidos en la PCR, que el 74,15% fueron bacterias, el 17,34% secuencias no asignadas, es decir que no tienen un patrón de asignación en la región 16S ARNr; 8,07% de secuencias que corresponden a organismos eucariotas, 0,39% a arqueas y el 0,05% a secuencias no clasificadas (Figura 2).

Discusión

Se ha identificado molecularmente bacterias asociadas a la filósfera, lo que significa, según Arjun *et al.* (2011), que existe un nicho ecológico favorable para una actividad microbiana muy importante, coincidiendo con lo manifestado por Okubo *et al.* (2014) y Sessitsch *et al.* (2012) quienes señalan que las plantas de *O. sativa* representan un hábitat para diversos microorganismos, que colonizan las partes aéreas, referidas como filósfera.

La homología de secuencia de la primera cepa bacteriana cultivable, es del 100% con *Pantoea sp* LS-123, cepa que ha sido caracterizada por Hameed *et al.* 2015. El género *Pantoea* se reporta como endofítico de *O. sativa*, con actividad ligninolítica, degradador de pajilla de arroz (Xiong *et al.* 2014), en Rusia, India, Korea, etc., este género ha sido reportado como patógeno de plantas de arroz, causando decoloración del grano



o el tizón foliar en arroz (Egorova, Mazurin and Ignatov 2015; Mondal, Mani and Singh. 2011 y Lee and Hong 2010).

La homología de secuencia de la segunda cepa bacteriana cultivable, es del 99% con *Enterobacter asburiae* strain 35734, cuyo genoma ha sido secuenciado por McCorrison *et al.* 2015. Esta especie bacteriana ha mostrado ser estimuladora de crecimiento en plantas debido a su potencial para degradar el fosfato (Abraham and Silambarasan 2015, Munees and Khan 2008). Además, ha mostrado tener un compuesto llamado acil-homoserina lactona, involucrado en el sistema de comunicación “quorum sensing” (Lau *et al.* 2013).

La homología de secuencia de la tercera cepa bacteriana cultivable, es del 99% con *Klebsiella pneumoniae*, cepa que ha sido caracterizada por Iwase, *et al.* 2015. En el

cultivo de arroz se ha estudiado la actividad de fijación de nitrógeno y colonización de una cepa promotora de crecimiento, *Klebsiella pneumoniae* NG14, que ha sido aislada de la superficie de raíces de plantas de arroz, mostrando tener actividad nitrogenasa, fijadora de nitrógeno y fue capaz de colonizar las raíces de plantas de arroz (Liu *et al.* 2011).

La homología de secuencia de la cuarta cepa bacteriana cultivable, es del 98% con *Bacillus amyloliquefaciens* strain ICBB 200, cuyo genoma ha sido secuenciado por Paz and Matsumura, 2015. *B. amyloliquefaciens*, ha mostrado tener potencial de control biológico, en arroz, contra *Rhizoctonia solani*, *Burkholderia glumae* (Shrestha, *et al.* 2016) y *Xanthomonas oryzae* pv. *oryzae* (Xoo, Wu *et al.* 2015), *Aspergillus spp.*, *Fusarium spp* y *Bipolaris sorokiniana* (Benitez *et al.* 2010). *B. amyloliquefaciens*, puede llegar a tener hasta seis genes que codifican a péptidos antimicrobianos como el surfactin, bacA (bacylisin), fenD (fengycin), bmyB (bacyllomicin), spaS (subtilin), and ituC (iturin) (Mora, Cabrefiga and Montesinos 2011).

La homología de secuencia de las tres últimas cepas bacterianas asociadas a la filosfera, es del 99% con cepas bacterianas no cultivables.

El metagenómico obtenido de la filosfera de plantas de *O. sativa* determina una gran diversidad bacteriana en este hábitat, siendo del 98,2% en comparación con las bacterias cultivadas obtenidas por microbiología molecular. En relación a ello Arjun *et al.* (2011), mencionan que menos del 1% del total de poblaciones microbianas en medio ambiente terrestre, han sido aisladas con éxito en cultivo puro; en ese sentido se explica la poca cantidad de bacterias cultivables. Este metagenómico tiene, además, según la distribución de dominios un 17,34% de secuencias no asignadas y el 0,05% de secuencias no clasificadas, es decir que no se encuentran en la base de datos NCBI.

La diversidad bacteriana en la filosfera de arroz ha sido antes caracterizada a nivel metaproteogenómico, encontrándose Alpha proteobacteria (35%) y Actinobacteria (38%) además de Bacteroidetes, Firmicutes, Beta y Gammaproteobacteria. La clase Alphaproteobacteria está representada por los géneros *Rhizobium* y *Methylobacterium*, mientras que en el filum Actinobacteria, el género *Microbacterium* fue predominante mente detectado (Knief *et al.* 2012).

Algunas de las bacterias identificadas han sido anteriormente descritas por otros investigadores, como ligadas a las plantas de arroz, así tenemos; *Exiguobacterium acetylicum* con 4492 HITS, ha sido reportada por Mwashasha *et al.* 2014 y Bart 2003; *Pseudomonas fluorescens*, caracterizada como inductora de resistencia en arroz contra *Magnaporthe oryzae* (De Vleesschauwer *et al.* 2008); *Sinorhizobium meliloti*, reportada por Chi *et al.* (2010), infectando plántulas de arroz; *Sphingomonas azotifigens*, bacteria fijadora de nitrógeno, aislada de raíces de arroz (Xie y Yakota, 2006). *Methylobacterium aquaticum*, promotora del crecimiento vegetal, solubilizadora de fosfatos y productora AIA; puede crecer hasta en concentraciones 800 mM de NaCl y se ha observado que inhibe el desarrollo de hongos y que promueve el desarrollo de raíces a corto y a largo plazo (Gallegos *et al.* 2014).

Si consideramos que la ausencia de bacteria patógena *Burkholderia glumae*, se debería a la menor producción de toxoflavin, que es dependiente del sistema de "quorum sensing" (Chen *et al.* 2012, Karki *et al.* 2012, Goo *et al.* 2010, Karki 2010 y Devescovy *et al.* 2007) y que algunas bacterias tendrían un potencial como agentes de control biológico (Shrestha *et al* 2016); diríamos que los resultados, sobre la no presencia de *Burkholderia glumae*, pero sí de otras especies de este mismo género, se explican con lo expresado anteriormente.

Conclusiones

1. A nivel de filósfera se aislaron y caracterizaron siete bacterias cultivables por

- microbiología molecular (1,82%) y 385 bacterias, entre cultivables y no cultivables, por metagenómica dirigida (98,18%)
2. La filosfera de plantas de arroz, ofrecen una gran diversidad bacteriana, la cual ha sido identificada mediante técnicas de pendientes e independientes de cultivo microbiano.

Referencias Bibliográficas

- Abraham J., and S. Silambarasan. 2015. "Plant growth promoting bacteria Enterobacter asburiae JAS5 and Enterobacter cloacae JAS7 in mineralization of endosulfan." *Appl Biochem Biotechnol.* 175(7):3336-48. doi: 10.1007/s12010-015-1504-7.
- Arjun, J. and K. Harikrishnan. 2011. "Metagenomic analysis of bacterial diversity in the rice rhizosphere soil microbiome." *Biotechnol. Bioinf. Bioeng.*, 1(3): 361-367.
- Bart Cottyn. 2003. *Bacteria Associated with Rice Seed Bacteria Associated with Rice Seed from Philippine Farmers' Fields from Philippine Farmers' Fields.* <https://biblio.ugent.be/publication/521724/file/1874748.pdf>.
- Benitez LB, R.V. Velho, M.P. Lisboa, L.F. Medina, and A. Brandelli. 2010. "Isolation and characterization of antifungal peptides produced by *Bacillus amyloliquefaciens* LBM5006." *J Microbiol.* Dec; 48(6):791-7. doi: 10.1007/s12275-010-0164-0. Epub 2011 Jan 9. PubMed PMID: 21221936.
- Chen, R., I. Barphagha, H. Karki and J. Ham. 2012. "Dissection of quorum-sensing genes in *Burkholderia glumae* reveals non-canonical regulation and the new regulatory genetofM for toxoflavin production." *PLoS ONE* 7(12): e52150.
- Chi F., P. Yang, F. Han, Y. Jing, and S. Shen. 2010. Proteomic analysis of rice seedlings infected by *Sinorhizobium meliloti* 1021. *Proteomics.* May; 10(9):1861-74. doi: 10.1002/pmic.200900694.
- De Vleesschauwer, D. Djavaheri, M. Bakker, P. A. H. M. & Höfte, M. 2008. "Pseudomonas fluorescens WCS374r-Induced Systemic Resistance in Rice against Magnaporthe oryzae Is Based on Pseudobactin-Mediated Priming for a Salicylic Acid-Repressible Multifaceted Defense Response". *Plant Physiology*, 148(4), 1996–2012. <http://doi.org/10.1104/pp.108.127878>.
3. Las bacterias identificadas están ligadas a plantas de arroz y si bien no se ha encontrado la bacteria *Burkholderia glumae*, si se ha podido identificar cuatro especies del mismo género: *Burkholderia pseudomallei*, *Burkholderia fungorum*, *Burkholderia sp.* JPY479 y Uncultured *Burkholderia sp.*
- Devescovi, G., J. Bigirimana, G. Degrassi, L. Cabrio, J. LiPuma, J. Kim, I. Hwang and V. Venturi. 2007. Involvement of a quorum-sensing regulated lipase secreted by a clinical isolate of *Burkholderia glumae* in severe disease symptoms in rice. *Applied and Environmental Microbiology*, 73(15): 4950–4958.
- Egorova M., E. Mazurin and A. N. Ignatov. 2015. "First report of *Pantoea ananatis* causing grain discolouration and leaf blight of rice in Russia." *New Disease Reports* (2015) 32, 21. <http://dx.doi.org/10.5197/j.2044-0588.2015.032.021>.
- Goo, E., Y. Kang, H. Kim and I. Hwang I. 2010. "Proteomic analysis of quorum sensing-dependent proteins in *Burkholderia glumae*." *Journal of Proteome Research*, 9(6): 3184–3199.
- Gallegos J.J., C. Alías Villegas, I.M. Díaz Olivares, R. Gutiérrez Alcántara, N. Madinabeitia Peiró, R.A. Bellogín, and M.R. Espuny. 2014. *Caracterización de una metilobacteria aislada de la superficie del grano de arroz.* 10,1 3140/2.1.3698.1767. Sevilla. España.
- Hameed A., S. Y. Lin, W. A. Lai, C. C. Young, L. S. Young and Y. T. Hsieh. 2015. *Pantoea sp. CC-10P1 16S ribosomal RNA gene, partial sequence.* <https://www.ncbi.nlm.nih.gov/nucleotide/910268732/>
- Iwase, T., Y. Ogura, K. Ishiwata, T. Hayashi, M. Yoneda, and Y. Mizunoe. 2015. *Complete genome sequence of Klebsiella pneumoniae YH43.* <https://www.ncbi.nlm.nih.gov/nucleotide/AP014950.1>.
- Karki, H. 2010. *Physiological, biochemical and molecular characteristics associated with virulence of Burkholderia glumae: the major causative agent of bacterial panicle blight of rice.* Thesis of Master of Science. Department Plant Pathology and Crop Physiology. Faculty of the Louisiana State University and Agricultural and Mechanical College.

- Karki, H., B. Shrestha, J. Han, D. Groth, I. Barphagha, M. Rush, R. Melnason, B. Kim and J. Ham. 2012. *Diversities in virulence, antifungal activity, pigmentation and DNA fingerprint among strains of Burkholderia glumae*. *PLoS ONE* 7(9): e45376.
- Knief, C., N. Delmotte, S. Chaffron, M. Stark, G. Innerebner, R. Wassmann, and J. A. Vorholt. 2012. "Metaproteogenomic analysis of microbial communities in the phyllosphere and rhizosphere of rice." *The ISME Journal*, 6(7), 1378–1390. <http://doi.org/10.1038/ismej.2011.192>. Liu
- Lau, Y. Y., J. Sulaiman, J. W. Chen, W. F. Yin & K.G. Chan. 2013. Quorum Sensing Activity of *Enterobacter asburiae* isolated from Lettuce Leaves. *Sensors (Basel, Switzerland)*, 13(10), 14189–14199. <http://doi.org/10.3390/s131014189>.
- Lee H. B. and J. P. Hong. 2010. First Report of Leaf Blight Caused by *Pantoea agglomerans* on Rice in Korea. *APS Journals*, 94, (11). <http://dx.doi.org/10.1094/PDIS-05-10-0374>.
- Liu Y., H. Wang, X. Sun, H. Yang, Y. Wang, and W. Song. 2011. Study on mechanisms of colonization of nitrogen-fixing PGPB, *Klebsiella pneumoniae* NG14 on the root surface of rice and the formation of biofilm. *Curr Microbiol. Apr*; 62(4):1113-22. doi: 10.1007/s00284-010-9835-7.
- McCorison J., R. Sanka, M. Adams, L. Brinkac, G. Sutton, B. Kreiswirth and L. Chen. 2015. *Enterobacter asburiae* strain 35734, complete genome. <https://www.ncbi.nlm.nih.gov/nucleotide/CP012162.1>.
- MG RAST. 2007. Metagenomic Rapid Annotations using Subsystems Technology. <http://metagenomics.anl.gov/>
- MO BIO. 2016. PowerSoil® DNA Isolation Kit. Instruction Manual. Mo Bio, Laboratories Inc., Saving You Time For Life <https://mobio.com/media/wysiwyg/pdfs/protocols/12888.pdf>
- Mondal K. K., C. Mani, and J. Singh. 2011. A New Leaf Blight of Rice Caused by *Pantoea ananatis* in India. *APS Journals* 95(12) <http://dx.doi.org/10.1094/PDIS-06-11-0533>.
- Mora I., J. Cabrefiga, and E. Montesinos. 2011. "Antimicrobial peptide genes in *Bacillus* strains from plant environments." *Int Microbiol. Dec*; 14 (4):213-23. PubMed PMID: 22569759.
- Munees A. and M. S. Khan. 2008. "Plant growth promoting activities of phosphatesolubilizing *Enterobacter asburiae* as influenced by fungicides." *EurAsian Journal of BioSciences*. DOI:10.5053/ejobios.2010.4.0,1 1.
- Mwashasha R. M., Hunja Murage, Akio Tani, Esther M. Kahangi, and Huxley Mae Makonde. 2014. "Molecular characterization of bacteria and fungi from rice growing regions in Kenya" *International Journal of Biosciences*, 5(3): 7-14.
- NCBI. 2016. *Nucleotide*. National Center for Biotechnology Information, U.S. National Library of Medicine. <http://www.ncbi.nlm.nih.gov/nucleotide/>
- Okubo T., S. Ikeda, K. Sasaki, K. Ohshima, M. Hattori, T. Sato and K. Minamisawa. 2014. "Phylogeny and functions of bacterial communities associated with field-grown rice shoots. *Microbes Environmental*, 29(3): 329-332. Accedido el 2 de junio 2015. <http://www.ncbi.nlm.nih.gov/pubmed/25130883>.
- Paz and Matsumura, A.T.S (2015). *Bacillus amyloliquefaciens* as plant inoculant. <https://www.ncbi.nlm.nih.gov/nucleotide/KP681701.2>
- Sessitsch A, P. Hardoim, J. Döring, A. Weilharter, A. Krause, T. Woyke, B. Mitter, L. Hauberg-Lotte, F. Friedrich, M. Rahalkar, T. Hurek, A. Sarkar, L. Bodrossy, L. Van Overbeek, D. Brar, JD. Van Elsas and B. Reinhold-Hurek. 2012. "Functional characteristics of an endophyte community colonizing rice roots as revealed by metagenomic analysis." *APS Journal*, 25(1):28–36. Los Banos, Laguna, Philippines.
- Shrestha B. K., H. S. Karki, D. E. Groth, N. Jung khun & J. H. Ham. 2016. "Biological Control Activities of Rice-Associated *Bacillus sp.* Strains against Sheath Blight and Bacterial Panicle Blight of Rice. *PLoS ONE*, 11(1), e0146764. <http://doi.org/10.1371/journal.pone.0146764>.
- Wu, L., H. Wu, L. Chen, X. Yu, R. Borrius & X. Gao. 2015. "Difficidin and bacilysin from *Bacillus amyloliquefaciens* FZB42 have antibacterial activity against *Xanthomonas oryzae* rice pathogens. *Scientific Reports*, 5, 12975. <http://doi.org/10.1038/srep12975>.
- Xie CH., and A. Yokota. 2006. "*Sphingomonas azotifigens* sp. nov., a nitrogen-fixing bacterium isolated from the roots of *Oryza sativa*" *Int J Syst Evol Microbiol. Apr*; 56 (Pt 4):889-93. PubMed PMID: 16585711.
- Xiong XQ, HD Liao, JS Ma, XM Liu, LY Zhang, XW Shi, XL Yang, XN Lu, and YH Zhu. 2014. "Isolation of a rice endophytic bacterium, *Pan-*

toea sp. Sd-1, with ligninolytic activity and characterization of its rice straw degradation ability. *Lett Appl Microbiol.* Feb; 58 (2):123

-9. doi: 10.1111/lam.12163. Epub 2013 Oct 31. PubMed PMID: 24111687.